

## مدل‌سازی مؤلفه‌های مورفومتری فروچاله‌های گچی (مطالعه موردی: دشت جابر، دشت مارون)

حمیده غلام حیدری<sup>۱</sup>

مژگان انتظاری<sup>۲</sup>

حاجی کویمی<sup>۳</sup>

محمدحسین رامشت<sup>۴</sup>

### چکیده

دشت مارون، واقع در حوضه مارون در استان‌های خوزستان و کهگیلویه و بویراحمد و دشت جابر در شمال غربی شهرآیلام در استان آیلام واقع شده‌اند. وجود سازند گچساران و پدیده‌های کارستی گچی که مهمترین آنها فروچاله است دراین دو دشت، می‌تواند تاثیر بسیار مخربی بر سازه‌های انسان ساخت از جمله تاسیسات استراتژیک، جاده‌ها و واحدهای مسکونی داشته باشد. هدف از این پژوهش اندازه‌گیری و ارزیابی پارامترهای این فروچاله به منظور تفکیک آنها با فروچاله‌های گچی و پیش‌بینی روند گسترش آنها به منظور کاهش خسارات ناشی از آنها می‌باشد دراین مطالعه فروچاله‌های دو دشت بر اساس روش‌های باسو و سویچ تقسیم بندی شدند و طبق مدل باسو در دسته فروچاله‌های کشیده و کاسه‌ای، و طبق روش سویچ در دسته‌های کاسه‌ای، چاله مانند و قیفی شکل قرار گرفتند و در ادامه با استفاده از روش آماری رگرسیون خطی چند متغیره

۱- دانشجوی دکتری گروه جغرافیا و برنامه‌ریزی، جغرافیا، دانشگاه اصفهان

۲- دانشیار دانشگاه اصفهان (نویسنده مسئول)

Email: entezary54@yahoo.com - Tel: 09133313193

۳- دانشیار، عضو هیات علمی / دانشگاه ایلام

۴- استاد ژئومورفولوژی دانشگاه اصفهان

رابطه بین این مولفه‌ها مورد ارزیابی قرار گرفت. نتایج حاصل از این پژوهش نشان داد که بین مؤلفه‌های مورفومتری فروچاله‌ها نشان داد که مؤلفه‌های مساحت با قطر بزرگ، مساحت با قطر کوچک، عمق با مساحت و عمق با قطر بزرگ به ترتیب با ضرایب تبیین  $0.922$ ,  $0.873$ ,  $0.999$ ,  $0.581$  از بیشترین میزان همبستگی معنی‌دار برخوردارند. حداقل ارتباط معنی‌دار در سطح احتمال خطای کمتر از  $0.01$ , بین مؤلفه‌های مساحت و قطر بزرگ برای روابط درجه  $2$  و  $3$  با ضرایب تبیین  $0.997$  و  $0.998$  و خطای برآورد  $0.07$  و  $0.08$  است. نتایج تحلیل رگرسیون خطی چند گانه گام به گام<sup>۱</sup> بین مؤلفه‌های مورفومتری فروچاله‌ها نیز نشان داد که بیشترین ضریب تبیین مربوط به مساحت با پارامترهای قطر کوچک و قطر بزرگ و عمق با مقدار عددی ضریب تبیین  $0.997$  با خطای برآورد  $0.024$  و کمترین میزان ضریب تبیین مربوط به شبیه با عمق و قطر بزرگ و کوچک است که میزان ضریب تبیین آن  $0.584$  و میزان خطای برآورد  $0.091$  است. بنابراین پارامترهای مساحت، قطرهای بزرگ و کوچک و عمق می‌توانند پارامترهای مناسبی جهت مدل سازی باشند. با استفاده از این نتایج می‌توان فروچاله‌های در معرض گسترش در نزدیکی تاسیسات را شناسایی کرد و مطالعه مورفومتریکاین پدیده‌ها می‌تواند امکان مقایسه پارامترهای متنوع فروچاله‌ها را مهیا ساخته و منجر به طرح فرضیاتی در مورد نحوه تکامل آن‌ها شود.

**واژگان کلیدی:** فروچاله، مورفومتری، آنالیز رگرسیون، دشت مارون، دشت جایر، رگرسیون تک متغیره، رگرسیون خطی چند گانه گام به گام.

## مقدمه

کارست یک سیستم ژئومورفیک و هیدرولوژیک است که توسط انحلال سنگ‌های انحلال پذیر مانند سنگ آهک، دولومیت و ژپیس شکل می‌گیرد (ازیوت<sup>۲</sup> و همکاران، ۲۰۱۴). یکی از سنگ‌هایی که کارستی شدن به راحتی و به سرعت در آن اتفاق می‌افتد سنگ (ژپیس و انیدریت) می‌باشد (وایت<sup>۳</sup>, ۱۹۸۸). با توجه به گستردگی سازندهای تبخیری مانند سازندهای گچساران، کله‌ر، هیث، گنبدهای نمکی و ... در ایران و بویژه

<sup>1</sup> Stepwise

<sup>2</sup> Ozyurt

<sup>3</sup> White



زاگرس و وجود گچ (ژیبی و انیدریت) بعنوان تشکیل دهنده‌های اصلی آنها، اهمیت آنها در مسائل زمین شناسی مهندسی مانند سدها، تونل ها، راهها و خط آهن، ابنيه، معادن و ... مبرهن و هویبداست. میان ژئومورفولوژی کارست و تکامل آن ارتباط نزدیکی وجود دارد، به طوری که فراوانی و گسترش پدیده‌های مورفولوژی کارست در ناحیه می باشد (کریمی ۱۳۸۹ : ۲). توسعه یک سیستم کارستی به عواملی مانند اقلیم، لیتولوژی و عوامل ساختمانی (چین گسل و درزه) بستگی دارد. (زمان زاده، ۱۳۹۷، ۲). شکل ۳ شش نوع فروچاله از نظر نحوه تشکیل در سازنده‌های آهکی را نمایش می دهد (والتم و فوکس<sup>۱</sup>، ۲۰۰۵) و به طور کلی چهار مکانیسم مختلف برای تشکیل فروچاله‌ها را تشخیص داده‌اند: انحلال از بالا<sup>۲</sup>، ریزش از زیر<sup>۳</sup>، انتقال خاک‌های روئین<sup>۴</sup> و برداشته شدن نیروی نگهدارنده.<sup>۵</sup> گاهی مکانیسم‌های تشکیل فروچاله‌ها ترکیبی از مکانیسم‌های مختلف است. به نظر می رسد که مکانیسم‌های فوق را بتوان برای فروچاله‌های گچی نیز به کار برد که تنها تفاوت آنها در سرعت تشکیل لندرم است. (گونی<sup>۶</sup>، ۲۰۰۲). هنگامی که فروچاله‌ها یافت شوند کارست همیشه توسعه یافته است بنابراین آن‌ها می توانند شاخص‌های لندرمی کارست در نظر گرفته شوند. (فورد و ولیلیامز<sup>۷</sup>، ۲۰۱۳). مطالعه مورفومتریک فروچاله‌ها علاوه براینکه یک تحلیل کمی از محیط‌های کارستی را فراهم می کند، بلکه مقایسه پارامترهای متنوع فروچاله‌ها ممکن است نتایج غیرمنتظره داشته باشد و منجر به ارائه فرضیاتی در مورد نحوه تکامل و دینامیک ژئوکوسمیستمی کارستی شود (باندسن<sup>۸</sup> و همکاران ۱۹۹۲). مطالعات متعددی در ارتباط با فروچاله‌ها صورت گرفته است به عنوان نمونه، رضایی مقدم و قدری (۱۳۹۰)، جهانفر و همکاران (۱۳۹۷)، زمان زاده و همکاران (۱۳۹۷) و تعدادی دیگر از پژوهشگران بر روی اشکال کارستی به ویژه فروچاله‌ها مطالعاتی داشتند که طبق نتایج این

<sup>1</sup> Waltham and Fookes

<sup>2</sup> Solution from above

<sup>3</sup> Collaps from below

<sup>4</sup> Soil transport

<sup>5</sup> Removal of buoyant support

<sup>6</sup> Gunay

<sup>7</sup> Ford and Williams,

<sup>8</sup> Bondesan

پژوهش‌ها عمق فروچاله‌ها رابطه معنا داری با ارتفاع آن‌ها دارد و عامل ارتفاع می‌تواند نقش موثری در مساحت فروچاله‌ها داشته باشد، اما گفته می‌شود فعالیت‌های زمین ساخت در محدوده مورد مطالعه سبب شده تا ارتفاع فروچاله‌ها رابطه معنا داری با مساحت آنها نداشته باشد. همچنین در زمینه شناسایی فروچاله‌ها با استفاده از مطالعات میدانی، نقشه‌های توپوگرافی، مدل رقومی ارتفاع و با استفاده از سایر روش‌های کمی و آماری ۲۳ اووالا در محدوده پراو-بیستون شناسایی شده‌اند و سپس پارامترهای مورفومنtri آنها شامل محیط، مساحت، عمق، حجم، جهت‌گیری اصلی، نسبت کشیدگی، سینوسیته، نسبت سطح مقطع و شاخص پیتینگ (حفره بودن) محاسبه شده واین نتیجه حاصل شده است که بین دو روش کلی استفاده از منحنی میزان و خط تقسیم توپوگرافی، روش دوم دارای اعتبار بیشتری است. زمان زاده و همکاران (۱۳۹۷) در پژوهشی که بر روی فروچاله‌های آهکی ارتفاعات بین پراو و شاهو انجام داده‌اند، نتایج شکل شناسی فروچاله‌ها بر اساس روش باسو کمترین و بیشترین نوع فروچاله مربوط به فروچاله‌های دایره‌ای شکل و بیضی‌شکل معرفی کرده‌اند همچنین بر طبق روش سویچ نیز، نسبت قطر به عمق تمام فروچاله‌ها بیشتر از ۲ محاسبه کرده‌اند و تمام فروچاله‌ها را جزو فروچاله‌های کاسه‌ای شکل قرار داده‌اند. بنابراین می‌توان بیان کرد که احتمالاً فروچاله‌های مناطق مطالعاتی جزو فروچاله انحالی محسوب می‌شوند که در اثر پدیده انحال در مناطق برخنه زاگرس مرتفع شکل گرفته‌اند و شکل کلی فروچاله‌ها را تابع شرایط تکتونیکی و وجود گسل‌های منطقه دانستند. ظاهری و همکاران (۱۵) در پژوهشی بر منطقه کبوترآهنگ همدان علت اصلی ایجاد فروچاله‌ها را برداشت بی رویه منابع آب زیر زمینی دانسته و یکی از مخاطرات ایجاد این فروچاله‌ها را تاثیرات پدیده بر روی تاسیسات نیروگاهی دانستند. ثروتی و همکاران (۱۳۹۳) فروچاله‌های منطقه گازورخانی کرمانشاه را مورد بررسی قرار دادند و موفرومتری فروچاله‌ها را مطالعه کرده واین پدیده را در دسته‌های ساده، مرکب و پیچیده قرار دادند همچنین نتایج نشان داد که این پدیده در شیب بالاتر از ۲۰ درجه تشکیل نخواهد شد. در مطالعاتی که در سایر کشورها انجام شده است، برونو<sup>۱</sup> و همکاران (۲۰۱۹) در خط ساحلی آپولیا در جنوب ایتالیا، اشکال کارستی را بر اساس

<sup>۱</sup> E. Bruno et al



تحول و تکامل و مورفومتری با استفاده از پارامترهای عمق، طول و عرض مورد بررسی قرار دادند. مساله‌ای که در این پژوهش مورد تاکید قرار داده شده است تعامل بین محیط زیست انسانی و این اشکال کارستی و اثرات منفی این پدیده‌ها بر روی سازه‌های انسان ساخت است. در این پژوهش به اهمیت مطالعه دقیق زمین شناسی و ژئومکانیکی پیش از ساخت و ساز و تعمیر و پرکردن حفره‌ها در صورت مجاورت با سازه‌ها اشاره شده است. سنتو و همکاران (۲۰۱۱) در مقاله‌ای با عنوان توزیع فضایی فروچاله‌های فروریزشی در توده سنگ‌های کربناته در مرکز و جنوب آپونینس، بر روی فروچاله‌های فروریزشی در منطقه جنوبی و مرکزی منطقه آپونینس (ایتالیا)، متتمرکز شده‌اند و عواملی را که منجر به وقوع این نوع فروچاله‌ها شده‌اند مورد بحث قرار داده‌اند. در این پژوهش ویژگی‌های زمین شناسی ساختمانی و پراکنش چشممه‌های محدوده مورد مطالعه بررسی شده و این نتیجه حاصل شد که این دو پارامتر بصورت همزمان در پراکنش فروچاله‌ها موثر هستند (Santo et al., ۹۵: ۲۰۱۱). در سال ۲۰۱۳ در یک پژوهش باسو<sup>۲</sup> و همکاران بخش جنوبی آفولیا که در جنوب غربی ایتالیا واقع شده است را به لحاظ مورفومتریک مورد بررسی قرار دادند و رابطه بین مورفومتری فروچاله‌ها و تکامل کارستی منطقه نشان داد که وجود گسل‌ها بر میزان تکامل و شکل‌گیری فروچاله‌ها و همچنین شکل ظاهری آنها تاثیر دارد. ها اوچن<sup>۳</sup> و همکاران (۲۰۱۸) در یک مطالعه که بر روی مناطق کارستی جنوب غربی چین انجام شده است، با استفاده از یک روش شناسایی و اندازه گیری، به وسیله DEM‌های مشتق شده از تصاویر ASTER و STRM و نقشه‌های توپوگرافی، براین مساله تاکید داشتند که شکل کلی فروچاله‌ها تابع خطوط گسل‌های منطقه هستند. در پژوهش حاضر با توجه به ضرورت بررسی فروچاله‌های گچی به دلیل تاثیرگذاری این پدیده بر روی تاسیسات و سازه‌های انسان ساز و با در نظر گرفتن این مساله که فروچاله‌های گچی به دلیل ابعاد کوچک قابلیت بررسی به وسیله متدهای سنجش از دور را ندارند سعی می‌شود ضمن دسته بندی ا نوع فروچاله‌های دشت‌های جابر و مارون بر اساس مورفولوژی آنها، مناسب ترین پارامترها جهت

<sup>1</sup> Santo et al

<sup>2</sup> A.Basso

<sup>3</sup> Hao Chen

مدل سازی تعیین شود. بنابراین با در نظر گرفتن این مساله که این پدیده‌ها تنها از راه بازدید-های میدانی قابلیت بررسی دارند، مدل سازی فروچاله‌های گچی می‌تواند روشی باشد که بررسی این پدیده‌ها را تسهیل نماید.

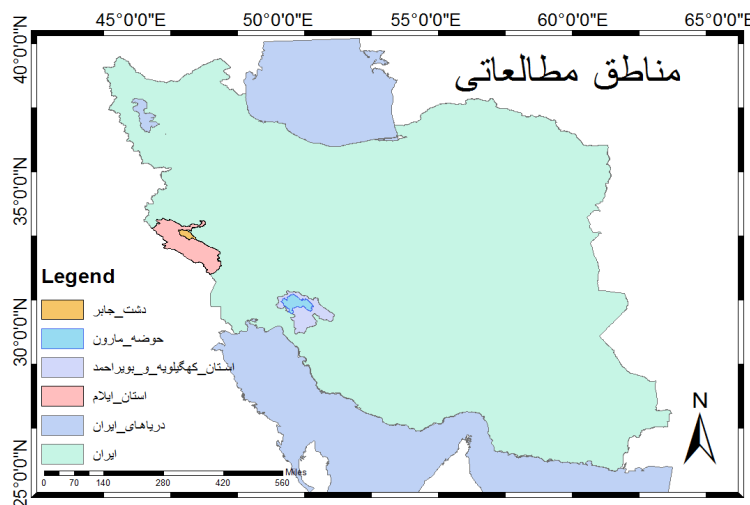
### مناطق مورد مطالعه

در این پژوهش دو منطقه دشت مارون و دشت جابر در محدوده سازند گچساران، جهت بررسی فروچاله‌های گچی مورد مطالعه قرار گرفته‌اند. دشت مارون واقع در حوضه مارون، در بخش چین خورده ساده رشته کوه زاگرس در استان‌های خوزستان و کهگیلویه و بویراحمد، در طول شرقی ۵۰ درجه و ۱۰ دقیقه تا ۵۰ درجه و ۴۰ دقیقه و عرض شمالی ۳۰ درجه و ۳۰ دقیقه و ۳۱ درجه ۲۰ دقیقه و در نقشه زمین‌شناسی ۱:۱۰۰۰۰۰ قرار دارد (مومنی پور، ۱۳۹۵) (شکل ۱). تاقیس خاییز که مرز استان‌های کهگیلویه و بویراحمد و خوزستان است در این حوضه واقع شده است. حوضه بسته مارون بسته به ارتفاع دارای اقلیم‌های متفاوتی بوده و در سیستم کوپن سه نوع اقلیم مدیترانه‌ای سرد، نیمه گرم‌سیری و نیمه خشک گرم با تابستان‌های خشک قابل تشخیص است. حوضه آبخیز مارون در دنباله سلسله جبال زاگرس واقع و از ته نشست‌های دوره کرتاسه تا پلیوسن تشکیل یافته است. سنگ‌های تشکیل دهنده آن عبارتند از مارن، شیل، گچ، کنگلومرا و آهک. (مقصودی و همکاران، ۱۳۹۶: ۴۱)

دشت جابر بدره واقع در طول جغرافیایی<sup>۱</sup> ۴۶° تا ۴۷° شرقی و عرض جغرافیایی ۱۶° تا ۱۷° شمالی در شمال غربی استان ایلام قرار گرفته است (کریمی ۱۳۹۰: ۱۲۹). (شکل ۲). متوسط بارندگی دشت جابر در دوره بیست ساله ۴۴۰ میلیمتر است. میانگین دمای محدوده مورد مطالعه ۲۱ درجه سانتیگراد بوده و بر اساس تقسیم بندی دمازنگاری نیز این محدوده در طبقه‌های خشک و نیمه قرار می‌گیرد. این محدوده در زون زاگرس چین خورده واقع شده (اشتوکلین<sup>۱</sup>، ۱۹۶۸) و از دیدگاه ژئومورفولوژیک از رشته کوههای نسبتاً مرتفع با روند کلی شمال غرب جنوب شرق تشکیل شده است. توالی چینه‌شناسی محدوده مورد بررسی شامل

<sup>۱</sup> Stocklin

سازند گچساران (شامل گچ، مارن و گل سنگ با سن میو-پلیوسن)، آسماری (شامل آهک و دولومیت با سن الیگومن - میوسن)، سازند بختیاری (کنگلومرا با سن پلیوپلیستوسن)، پابده و گوربی (شیل و مارن با سن پالئوسن - الیگومن) و رسوبات عهد حاضر است. سازند مورد بررسی و اهمیت در این پژوهش گچساران است که از ژیپس، انیدریت و مارن های قرمز متوسط لایه تشکیل شده است که به طور هم شبیب بر روی آسماری قرار گرفته و قسمت فوقانی آسماری بوسیله لایه ضخیمی از ژیپس پوشانده است. ضخامت متوسط و تقریبی آن حداقل ۱۰۰۰ متر برآورد شده است (مهندسين مشاور مهاب قدس، ۱۳۸۰).



شکل ۱- محدوده مورد مطالعه (دشت مارون و دشت جابر)

## داده ها و روش ها

جهت بررسی و مطالعه مورفومتری فروچاله های گچی دو محدوده مطالعاتی دشت مارون و دشت جابر، پس از بررسی های میدانی و برداشت مشخصات کمی و تهیه داده های مورد نیاز فروچاله های دو منطقه مطالعاتی، پارامترهای مورد نیاز توسط نرم افزار SPSS تهیه شد. (جدول ۱). در ابتدا با استفاده از داده های تهیه شده، فروچاله های دو محدوده مطالعاتی به وسیله روش های باسو و سویچ دسته بندی شدند، سپس در نرم افزار SPSS تحلیل

رگرسیونی پارامترهای مورفومتری فروچاله‌ها انجام شد. برای این منظور از روش‌های خطی تک متغیره، درجه ۲، درجه ۳ و چند متغیره استفاده و مناسب‌ترین مدل‌ها که دارای ارزش رجحانی بالاتر بودند، ارائه گردیدند.

### تجزیه و تحلیل داده‌ها

جدول ۱ نتیجه آنالیز توصیفی مؤلفه‌های برداشت شده از فروچاله‌ها از جمله محیط، مساحت، عمق، شبیب، قطر بزرگ و قطر کوچک بوده که در بازدید میدانی برداشت شده‌اند و در نرم افزار SPSS دامنه، حداقل، حداکثر، چوکی، میانگین و انحراف معیار محاسبه شد تا به‌این وسیله ضریب کشیدگی نیز به دست‌آید.

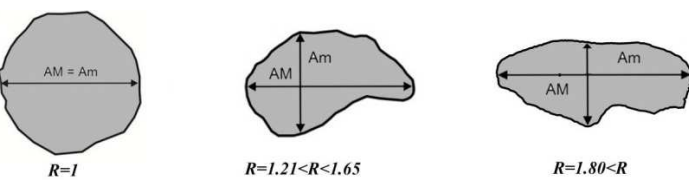
جدول ۱- آنالیز توصیفی مؤلفه‌های مورفومتری فروچاله‌ها

منطقه	شاخص-های آماری	مساحت	محیط	عمق	شبیب	قطر بزرگ	قطر کوچک	ضریب کشیدگی (قطر بزرگ / قطر کوچک)
مارون	دامنه	۴۳۲۸۲۳	647	۱۴	260	196	79	3/3
	حداقل	۴	3	۱	40	4	1	1
	حداکثر	2827/43	650	۱۵	300	200	80	4/3
	میانگین	565/3642	125/12	4/741935	83/8	24/65	16/4	1/47
	انحراف معیار	1652/339	43/72417	۲/۲	34/98317	32/87778	15/58895	0/953411
	چوکی	6/720301	2/518675	۲/۱	3/694975	3/372341	2/187288	1/963834
جابر	دامنه	۲/۷۸۵۲	311/66	۵/۲۹	130	88/5	99	2/57
	حداقل	۷۷/۱	2/5	۵/۰	10	1/۵	1	1
	حداکثر	۹۷۷۸۵۳	314/16	۳۰	140	100	100	3/57
	میانگین	630/184	67/3	۲/۵	58/21429	18/96809	18/35	1/1
	انحراف معیار	1476/235	5/673338	74/05003	39/45925	21/75941	21/95794	0/497609
	چوکی	3/563941	1/920559	2/584313	2/555166	2/14394	2/155631	4/707929

در مرحله بعد جهت تعیین مورفولوژی فروچاله‌ها از روش‌های باسو<sup>1</sup> و سویچ<sup>2</sup> استفاده شد. تعیین شکل در روش باسو به صورت دو بعدی انجام می‌شود، بدین صورت که بر اساس

1 Basso

2 Cvijić



شکل ۲- انواع مورفولوژی فروچاله‌ها (باسو و همکاران، ۲۰۱۳ با کمی تغییر)

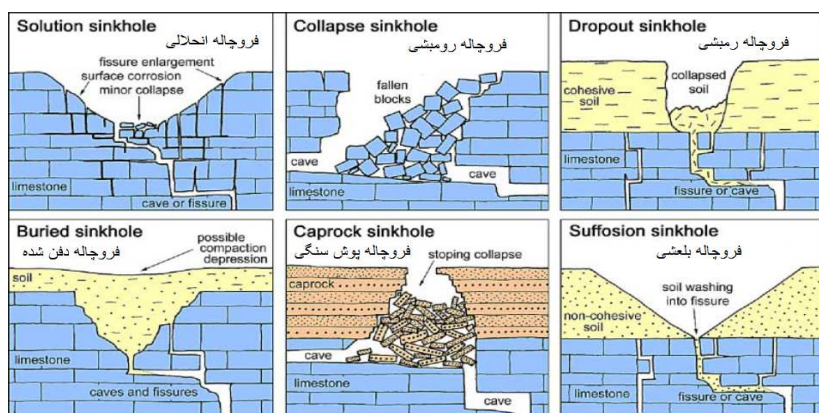
در روش سویج نیز با استفاده از نسبت‌های عمق به قطر، فروچاله‌ها به سه طبقه: چاله‌های کم عمق یا حوضچه‌های کاسه‌ای شکل با کف پهن (قطر/عمق بیشتر از ۲)، فروچاله‌های عمیق‌تر و پرشیب‌تر قیفی شکل (قطر/عمق بین ۱/۵ تا ۲) و فروچاله‌های چاهک مانند (قطر/عمق کمتر از ۱/۵) که در آن‌ها معمولاً پهنا کمتر از عمق است، تقسیم می‌شوند (سویج، ۱۹۸۳؛ باندسان، ۱۹۹۲؛ فورد و ویلیامز، ۲۰۱۳). در این مطالعه ۱۴ درصد از فروچاله‌ها در دسته فروچاله‌های چاهک مانند، ۱۳ درصد قیفی شکل و ۷۳ درصد در دسته فروچاله‌های کاسه‌ای قرار دارند.

### مورفولوژی فروچاله‌ها

نتایج شکل شناسی فروچاله‌ها در مناطق مطالعاتی به شرح جدول ۲ و شکل ۲ می‌باشد. این نتایج نشان می‌دهد که بر اساس روش باسو نوع فروچاله‌های مناطق مطالعاتی دایره‌ای شکل و کشیده می‌باشد. همچنین بر طبق روش سویج، نسبت قطر به عمق فروچاله‌های این مناطق شامل فروچاله‌های کاسه‌ای، قیفی و چاهک مانند هستند که تعداد فروچاله‌های چاهک مانند از دو نوع دیگر بیشتر است. طبق اظهارات (فورد و ویلیامز، ۲۰۱۳)

فروچاله‌های انحلالی معمولاً کاسه‌ای شکل بوده و فرم کاسه‌ای شکل آن‌ها دلالت بر آن دارد که از مرکز فروچاله‌ها توده بزرگ‌تری از سنگ نسبت به اطرافشان جابجا شده است، بنابراین می‌توان بیان کرد که احتمالاً فروچاله‌های مناطق مطالعاتی جزو فروچاله‌های کاسه‌ای محسوب می‌شوند که در اثر پدیده انحلال شکل گرفته‌اند و این در حالیست که فروچاله‌هایی که دارای شبیب بالایی در دیواره و مساحت کمتری در دهانه هستند می‌توانند فروچاله‌های ریزشی باشند (فورد و ویلیامز، ۲۰۱۳).

شکل (۳) انواع فروچاله‌ها که توسط والتم و فوکس (۲۰۰۵) دسته بندی شده‌اند را نشان می‌دهد. این دسته بندی، مکانیزم شکل‌گیری انواع فروچاله‌ها را که به طور مستقیم بر موفولوژی این اشكال تاثیر دارند را نشان می‌دهد که می‌تواند اخلهارات فورد و ویلیامز را تکمیل کند.



شکل ۳ - دسته بندی انواع فروچاله‌ها و مکانیزم تشکیل آنها - والتم و فوکس (۲۰۰۵)

جدول شماره ۲ نتایج حاصل از روش باسو و سویج در دو محدوده مطالعاتی را نشان می‌دهد.

جدول ۲ - شکل شناسی فروچاله‌های مناطق موردمطالعه

چاهک مانند	روش سویج			روش باسو			منطقه
	قیفی شکل	کاسه‌ای شکل	کشیده	بیضی شکل	دایره‌ای	دشت مارون	
۴۷	۷	۶	۲۲	-	۳۸		



۳۱	۷	۱۰	۵	-	۴۳	دشت جابر
----	---	----	---	---	----	----------

اشکال ۴ تا ۷ نمونه هایی از فروچاله دو دشت را نشان می دهد که در دسته بندی های جدول شماره ۲ قرار می گیرند. (منبع: نگارندگان)



شکل ۴ و ۵- نمونه ای از فروچاله های کشیده و قیفی شکل (دشت مارون)- منبع: نگارندگان

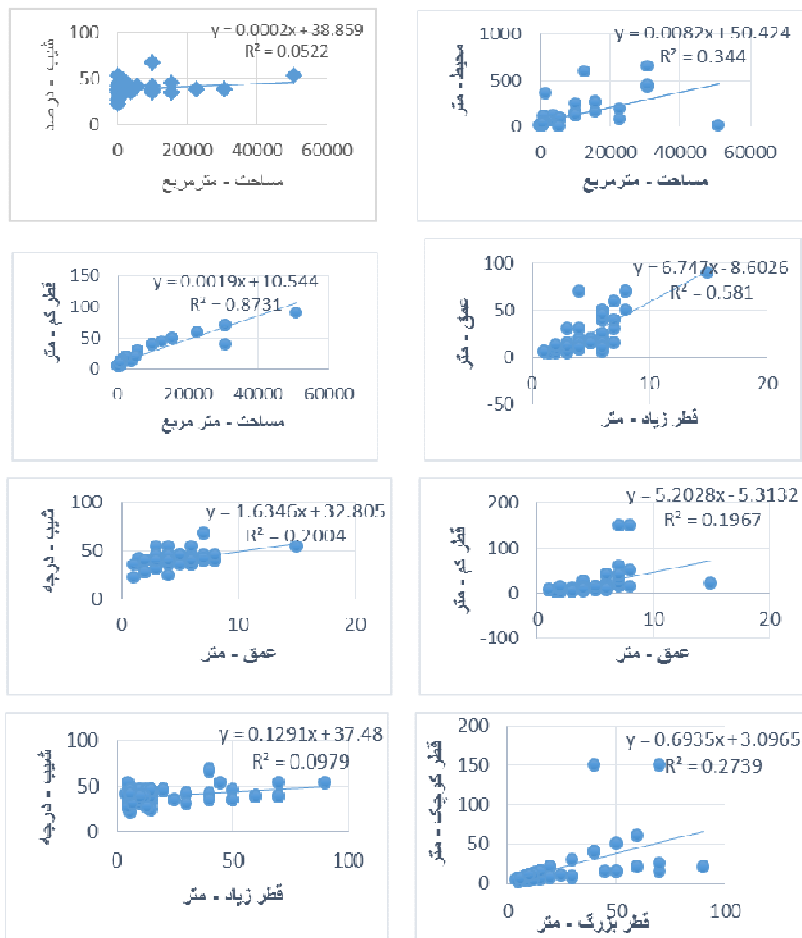


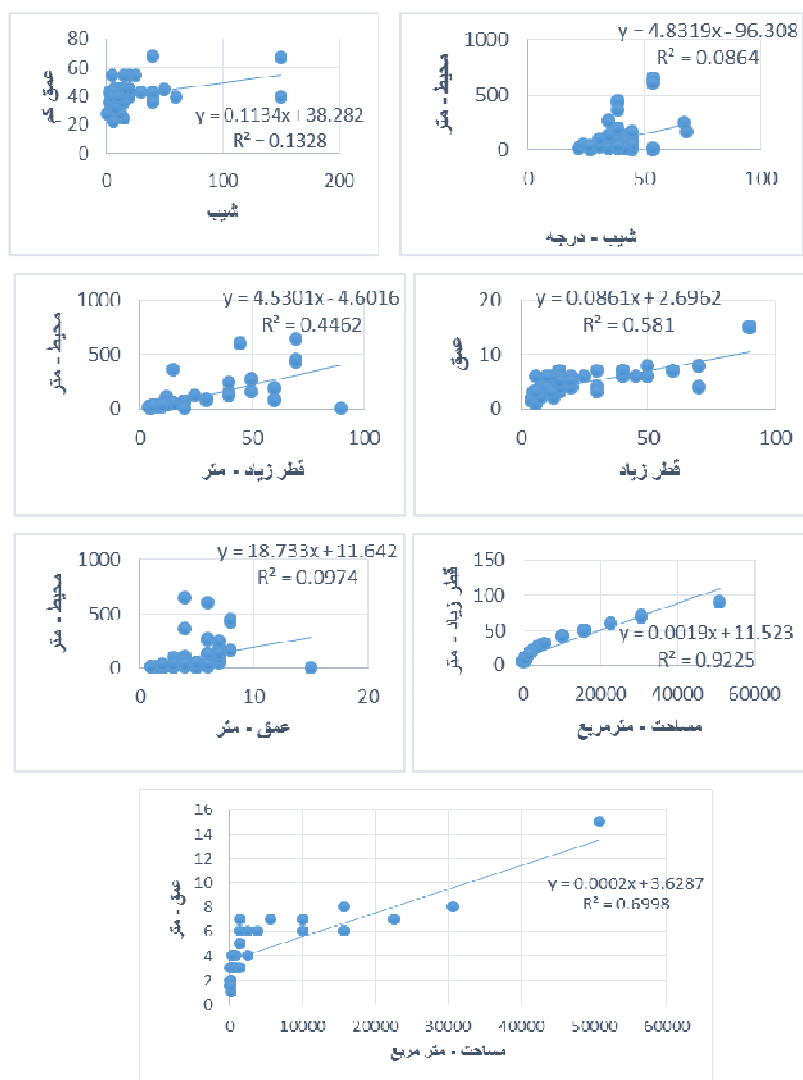
شکل ۶ و ۷ نمونه ای از فروچاله های کاسه ای و چاهک مانند (دشت جابر) - منبع: نگارندگان

#### تحلیل رگرسیون مؤلفه های مورفومتری فروچاله ها

در این مرحله از بررسی، ضرایب تبیین بین تک مؤلفه های برداشت شده در بازدیدهای میدانی محاسبه شده است. هدف از این محاسبه تخمین میزان ضرایب تبیین بین تک تک پارامترهای فروچاله های مناطق مطالعاتی است. نتایج حاصل از تحلیل رگرسیون خطی تک متغیره بین مؤلفه های مورفومتری فروچاله ها به شرح شکل ۸ است. هدف از این محاسبات، تعیین بیشترین ضریب تبیین بین هر یک از پارامترهای فروچاله ها با پارامتر دیگر است. این یافته ها نشان می دهد که مؤلفه های مساحت با قطر بزرگ، مساحت با قطر

کوچک، عمق با مساحت و عمق با قطر بزرگ به ترتیب با ضرایب تبیین  $0/922$ ،  $0/873$ ،  $0/699$ ،  $0/581$ /بیشترین میزان همبستگی معنی‌دار برخوردارند.





شکل ۸ - نتایج تحلیل رگرسیون ساده خطی بین پارامترهای مورفومتری فروچاله ها

علاوه بر محاسبه رگرسیون خطی تک متغیره، مقادیر ارتباط معنی دار در روابط درجه ۲ و درجه ۳ نیز محاسبه شد. طبق نتایج جدول ۳ که محاسبات آن در نرم افزار SPSS حاصل

شده است، بین پارامترهایی مانند محیط و مساحت و همچنین قطر کوچک و قطر بزرگ بیشترین میزان همبستگی وجود دارد. نتایج جدول ۳ نشان دهنده‌این مساله است که حداکثر ارتباط معنی‌دار در سطح احتمال خطای کمتر از ۱٪ بین مؤلفه‌های مساحت و قطر بزرگ برای روابط درجه ۲ و ۳ با ضرایب تبیین ۰/۹۹۷ و ۰/۹۹۸ و خطای برآورد ۰/۰۷ و ۰/۰۸ است. این نتایج همچنین نشان می‌دهد که کمترین ارتباط معنی‌دار درجه ۲ و ۳، بین محیط و شبیب با ضرایب تبیین ۰/۰۲۵ و ۰/۰۲۲ و خطای برآورد ۰/۰۲۲ و ۰/۰۲۱ می‌باشد.

جدول ۳- نتایج آنالیز رگرسیون ساده روابط درجه ۲ و ۳ بین پارامترهای مورفومتری فروچاله‌ها

ضرایب مدل				معنی‌داری	F	مقادیر	خطای برآورد	ضرایب تبیین	ضرایب همبستگی	نوع مدل	پارامتر
b <sub>3</sub>	b <sub>2</sub>	b <sub>1</sub>	b <sub>0</sub>								
-	-0/39	0/063	0/001	0/000	15/592	0/008	0/354	0/595	۲ درجه		مساحت و محیط
-0/116	0/063	0/043	0/001	0/000	10/311	0/008	0/358	0/597	۳ درجه		مساحت و عمق
1/634	-0/731	0/080	0/000	675/379	0/026	0/974	0/987	۲ درجه			مساحت و شبیب
2/364	-1/84	0/505	-0/031	0/000	1109	0/017	0/990	0/995	۳ درجه		مساحت و قطر
-	-4/921	4/920	1/209	0/000	9/927	0/131	0/355	0/596	۲ درجه		بزرگ
23/180	-34/551	16/703	-2/598	0/000	9/980	0/121	0/459	0/677	۳ درجه		محیط و عمق
-	0/924	0/83	-0/007	0/000	7104/4	0/008	0/997	0/999	۲ درجه		محیط و شبیب
-2/1	3/55	-0/463	0/02	0/000	6375/4	0/007	0/998	0/999	۳ درجه		محیط و قطر
-	67/808	-7/379	0/173	0/000	0/173	0/128	0/384	۱۱۱/۰	۲ درجه		بزرگ
1248	-202/4	9/362	-0/104	0/000	11/53	0/117	0/479	0/705	۳ درجه		محیط و قطر
-	-0/219	0/225	0/006	0/000	10/34	0/018	0/365	0/604	۲ درجه		بزرگ
-0/249	0/146	0/095	0/018	0/001	6/968	0/018	0/374	0/612	۳ درجه		شبیب و عمق
-	-0/220	0/240	-0/018	0/638	0/455	0/022	0/025	0/157	۲ درجه		شبیب و شبیب
-2/352	3/785	-1/957	0/368	0/394	1/023	0/022	0/081	0/284	۳ درجه		محیط و قطر
-	-0/447	0/457	0/000	0/000	27/26	0/014	0/602	0/776	۲ درجه		بزرگ
2/578	-3/659	1/12	0/033	0/000	22/38	0/013	0/657	0/811	۳ درجه		محیط و قطر
-	-4/606	1/14	-0/004	0/000	22/53	0/015	0/556	0/746	۲ درجه		بزرگ
-106/6	18/469	-0/290	0/020	0/000	17/443	0/014	0/599	0/774	۳ درجه		محیط و قطر
-	-0/223	0/569	0/442	0/001	7/891	0/092	0/305	0/552	۲ درجه		شبیب و عمق
0/941	-1/605	1/061	0/398	0/004	5/244	0/093	0/310	0/557	۳ درجه		شبیب و عمق
-	-0/006	0/267	0/535	0/081	2/694	0/103	0/130	0/361	۲ درجه		شبیب و بزرگ
-9/056	11/277	-2/080	0/635	0/107	2/191	0/103	0/158	0/398	۳ درجه		شبیب و بزرگ
-	13/7	-0/996	0/576	0/184	1/774	0/106	0/09	0/3	۲ درجه		شبیب و قطر
697/98	137/4	8/367	0/412	0/092	2/322	0/105	0/166	0/407	۳ درجه		شبیب و بزرگ
-	60/556	-5/7	0/203	0/000	19	0/107	0/514	0/717	۲ درجه		قطر بزرگ
959/3	-147/15	7/13	-0/10	0/000	16/7	0/099	0/589	0/767	۳ درجه		قطر بزرگ و قطر بزرگ

نتایج تحلیل رگرسیون خطی چند گانه گام به گام<sup>۴</sup> بین مؤلفه‌های مورفومتری فروچاله‌ها مرحله بعد محاسبات است که به شرح جدول ۴ می‌باشد. در این محاسبات برخلاف محاسباتی که تاکنون انجام شده و هر متغیر با یک متغیر دیگر سنجیده شده، چهار مؤلفه

<sup>4</sup> Stepwise



عمق، مساحت، محیط و شب متغیر وابسته در نظر گرفته شده و به ازای هر متغیر سایر متغیرها متغیر مستقل تعریف شده و در نهایت سطح معنا داری آنها محاسبه شده است تا این روش نیز جهت تعیین ارتباط بین متغیرها مورد استفاده قرار گیرد و مکمل و تایید کننده سایر روش‌ها باشد. طبق محاسبات انجام شده در جدول مذکور، بیشترین ضریب تبیین مربوط به مساحت، قطر کوچک و قطر بزرگ و عمق با مقدار عددی ضریب تبیین ۰,۹۹۷ با خطای برآورد ۰,۰۲۴ و کمترین میزان ضریب تبیین مربوط به شب با عمق و قطر بزرگ و کوچک است که میزان ضریب تبیین آن ۰,۰۹۱ و میزان خطای برآورد ۰,۵۸۴ است.

جدول ۴- خلاصه مدل‌های خطی چند متغیره مؤلفه‌های مورفومتری فروچاله‌ها در مناطق مطالعاتی

مساحت متناداری	مقدار Beta	ضرایب غیراستاندارد		متغیر مستقل	خطای برآورد	ضریب تعدیلی	ضریب تبیین	ضریب همبستگی	متغیر وابسته
		خطای استاندارد	B						
0/000	0/543	0/084	0/548	مساحت	0/720	0/797	0/813	0/901	عمق
0/000	0/380	0/415	1/949	قطر کوچک					
0/004	0/244	0/117	0/363	شب					
0/201	-	0/068	-0/089	مقدار ثابت					
0/000	1/102	0/052	1/172	قطر بزرگ	0/024	0/975	0/997	0/989	مساحت
0/000	-0/200	0/174	-1/014	قطر کوچک					
0/742	-0/018	0/053	-0/018	عمق					
0/000	-	0/010	-0/051	مقدار ثابت					
0/000	-0/627	0/014	-0/092	قطر بزرگ	0/011	0/758	0/771	0/878	محیط
0/000	1/064	0/068	0/755	قطر کوچک					
0/010	-	0/004	0/011	مقدار ثابت					
0/002	0/657	0/195	0/645	عمق					
0/181	-0/356	0/189	-0/257	قطر بزرگ	0/091	0/285	0/342	0/584	شب
0/355	-0/173	0/636	-0/597	قطر کوچک					
0/000	-	0/036	0/475	مقدار ثابت					

### نتیجه‌گیری



طبق نتایج جدول شماره ۱ و بررسی و تطابق این نتایج با روش باسو فروچاله‌های دشت جابر دایره‌ای شکل بوده و فروچاله‌های دشت مارون در دسته فروچاله‌های کشیده قرار گرفته‌اند که البته مکانیزم تشکیل فروچاله‌ها در شکل و مورفومتری آنها تاثیر مستقیم داشته است. وجود آبراهه‌ها بر روی سازندها ولایه‌های گچی در دشت مارون باعث ایجاد فروچاله‌های کشیده شده و در دشت جابر نیز که عمدۀ فروچاله‌ها بر روی خط کنیک شکل گرفته‌اند، محل تلاقی یک جریان متمرکر دامنه‌ای و لایه گچی باعث ایجاد فروچاله‌های دایره‌ای شده است. بنابراین می‌توان اینگونه عنوان کرد که ارتباطی مستقیم بین مورفومتری فروچاله‌ها و مکانیزم تشکیل آنها دارد ۷۳ درصد فروچاله‌ها در این مطالعه در اثر پدیده انحلال، ۱۴ درصد با توجه به اینکه در دسته چاهک مانند قرار دارند و دارای شبیب بسیار زیاد و مساحت دهانه کمتری هستند در دسته ریزشی قرار می‌گیرند و ۱۳ فروچاله‌های قیفی شکل می‌توانند در اثر ترکیب پدیده انحلال و ریزش شکل گرفته باشند. یکی از موارد بسیار مهمی که در ارتباط با فروچاله‌های گچی باید مد نظر قرار دادیم است که مجاورت لایه‌های مارنی در کنار لایه‌های گچی می‌تواند به مرور مورفومتری فروچاله‌ها را تغییر داده و باعث-ایجاد خطا در مورفومتری و تشخیص مکانیزم تشکیل گردد. همچنین عمق فروچاله‌های دشت جابر بیشتر بوده که علت آن را می‌توان سبب بودن لایه‌های گچ دشت جابر نسبت به دشت مارون و از آن مهمتر قرار گیری این لایه‌ها در خط کنیک و در معرض یک جریان متمرکر قدرتمند دامنه‌ای دانست. طبق محاسبات و برداشت‌های میدانی، فروچاله‌های دشت مارون دارای شبیب بیشتری بوده که این نشان از ریزشی بودن عمدۀ فروچاله‌ها دارد و از لحاظ پارامتر مساحت نیز فروچاله‌های دشت جابر دارای مساحت بیشتری هستند که اگر تاثیر مارن بر روی مورفومتری فروچاله نادیده گرفته شود عمدۀ این فروچاله‌ها انحلالی محسوب می‌شوند. همچنین یکی از نتایج جالب توجه به دست آمده پس از بررسی‌ها و مشاهدات میدانی این است که نسبت قطر کوچک و بزرگ در فروچاله‌های کشیده تقریباً یک به سه محاسبه شده است. نتایج نهایی با استفاده از روش‌های مختلف تایید کننده‌این مطلب است که پارامترهای مساحت، قطرهای بزرگ و کوچک و عمق می‌توانند پارامترهای مناسبی جهت مدل سازی باشند. همانگونه که عنوان شد عوامل متعددی چون ریزش، انحلال و ترکیبی از ریزش و انحلال باعث شکل‌گیری و مورفومتری متنوع فروچاله-

های گچی است. بنابراین یکی از مهمترین دلایلی که باعث شده است پارامترهای محدودی در فروچاله های گچی دارای همبستگی بالا باشند، ریشه در نحوه شکل-گیری این فروچاله ها دارد.

## منابع

-ثروتی، م، رستمی، م، نصرتی، ک، احمدی، م (۱۳۹۳). شناخت عوامل موثر بر پراکنش و رخداد فروچاله‌ها در منطقه ی گازورخانی کرمانشاه با استفاده از رگرسیون لجستیک. *جغرافیا و توسعه* شماره ۳۶ پاییز ۱۳۹۳، ۱۸۱ - ۱۹۴.

-جهانفر، علی، بهرامی، شهرام، زنگنه اسدی، محمد علی، ۱۳۹۷، تحلیل مورفومتری و مورفولوژی در توده آهکی پراو و بیستون. *فصلنامه علمی - پژوهشی فضای جغرافیایی*، سال هجدهم، شماره ۳۶ صفحات ۱۶۰-۱۸۰.

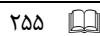
-جهانفر، علی، بهرامی، شهرام، زنگنه اسدی، محمد علی، ۱۳۹۷، تحلیل مورفومتری و مورفولوژی در توده آهکی پراو و بیستون. *فصلنامه علمی - پژوهشی فضای جغرافیایی*، سال هجدهم، شماره ۳۶ صفحات ۱۶۵-۱۸۰.

-رضایی مقدم، محمد حسین، قدری، محمد رضا، ۱۳۹۰، تحلیل کمی فروچاله‌ها در زمین‌های کارستی (مطالعه موردی: منطقه تخت سلیمان) *نشریه جغرافیا و برنامه ریزی*، شماره ۳۵، صص ۱۱۳ - ۱۳۵.

-زمان زاده، سید محمد، پاریزی، اسماعیل، امینی، مهدی، ۱۳۹۷ ، دل‌سازی مؤلفه‌های مورفومتری فروچاله‌ها و ارائه شاخص بعد فرکتال در مطالعه گسل‌های مناطق کارستی (مطالعه موردی: مناطق کارستی بین پراو و شاهو)، *پژوهش‌های ژئومورفوگلوبنی کمی*، سال ششم، شماره ۴، صص ۱ - ۱۶.

-قبادی، م، ح. ۱۳۸۸، *زمین‌شناسی مهندسی کارست* ، انتشارات دانشگاه بوعلی سینا، چاپ دوم.  
کریمی، حاجی، ۱۳۸۹، ارتباط سیستم ساختمانی و کارست شدگی، *مجموعه مقالات دومین سمپوزیوم بین‌المللی منابع آب کارست در ایران*، تهران.

-کریمی، حاجی، ۱۳۹۰، بررسی ساز و کار تشکیل فروچاله‌های دشت جابر در جنوب شرق استان ایلام، *زمین‌شناسی کاربردی پیشرفته*، دوره ۱، شماره ۲، زمستان ۹۰، ص ۱۲۵-۱۳۹.



- مقصودی، مهران، زمان زاده، سید محمد، یمانی، مجتبی، حاجی زاده، عبدالحسین ۱۳۹۶، بررسی تکتونیک فعال حوضه آبریز مارون با استفاده از شاخص های ژئومورفیک. پژوهش های ژئومورفو لوژی کمی، سال ششم، شماره ۳، صص ۳۷-۵۹.

- مومنی پور، مهدی (۱۳۹۵)، مطالعه نئوتکتونیک و فرسایش حوضه ای مارون با تکنیک ژئومورفومتری، پژوهش های فرسایش محیطی، پاییز ۱۳۹۵، ۳۳-۵۱.

- Bondesan, A., Meneghel, M. & Sauro, U., 1992. Morphometric analysis of dolines. International Journal of Speleology 21(1), pp 1-55.

- Basso, A., Bruno, E., Parise, M. & Pepe, M., 2012. Morphometric analysis of sinkholes in a karst coastal area of southern Apulia (Italy). Environmental Earth Sciences, 70(6), pp 1-16.

- Baryakh, A., Fedoseev, A (2011). Sinkhole formation mechanism. Journal of Mining Science. – 1Bates, Rl., Jackson, J (1987). Glossary of geology Alexandria Virginia. American Geological in statute.

- E. Bruno, Domenico Calcaterra, M. Parise (2008), Development and morphometry of sinkholes in coastal plains of Apulia, southern Italy. Preliminary sinkhole susceptibility assessment, Engineering Geology 99(3):198-209.

- Ford, D. & Williams, P. D., (2013). Karst hydrogeology and geomorphology. London.

- Ford, D. & Williams, P. D., (2013). Karst hydrogeology and geomorphology. London. • Gutiérrez, F., Parise, M., De Waele, J. & Jourde, H., 2014. A review on natural and human-induced geohazards and impacts in karst. Earth-Science Reviews, 138, pp 61–88.

- Hoa Chen, Takashi Oguchi, Pan Wu, (2018) Morphometric analysis of sinkholes using a semi – automatic approach in Zhijin County, China, Arabian journal of Geoscience (2018) 11:412.

- Santo, A., Ascione, A., Delperete, S., Dicrescenzo, G., Santangelo, N (2011). Collapse sinkhole distribution in the carbonate massifs of central and southern Apennines. Acta of Carsologica, 40/1.

- Taheri, K., Gutierrez, F., Mohseni, H., Raeisie, E., Taheri, M., (2015). Sinkhole susceptibility mapping using the analytical hierarchy process (AHP) and magnitude–frequency relationships: A case study in Hamadan province, Iran, *Geomorphology* 234 (2015) 64–79.
- Ozyurt, N. N., Lutz, H. O., Hunjak, T., Mance, D. & Roller-Lutz, Z., 2014. Characterization of the Gacka River basin karst aquifer (Croatia): Hydrochemistry, stable isotopes and tritium-based mean residence times. *Science of The Total Environment*, 487, pp 245–254.